#### 一寄稿—

# 核医学脳機能統計画像解析: **3D-SSP** および その読影補助解析ソフト: **ZSAM**(ジーサム) について

渡邊 清貴 三木 秀哉 製品企画第一部 中枢領域グループ

# ■3D-SSP 統計学的画像解析の開発の経緯

脳血流 SPECT (Single Photon Emission Computed Tomography) は1986年にパーヒューザミン注が 発売されて以来, 主に脳血管障害例の虚血部位の 同定や重症度評価、治療方針の検討を目的とし検 査が行われてきた。Alzheimer 型認知症 (AD) を はじめとする認知症の診断においてはX線 CT (Computed Tomography) P MRI (Magnetic Resonance Imaging) で形態的な異常が出る前に、 FDG-PET (18F-FluoroDeoxy Glucose Positron Emission Tomography) や脳血流 SPECT で代謝や 血流異常が検出される例があることは1980年代か ら報告されてきたが、 当時は治療薬もまだ無く認 知症(当時は痴呆)における脳血流 SPECT 検査 は主に研究目的で行われてきた。しかし高齢化社 会の進展に伴い認知症患者が急増する中. AD 治 療薬の塩酸ドネペジルが本邦においても1999年か ら発売開始され、認知症の早期診断・早期治療の 重要性が高まるとともに、AD の早期・鑑別診断 を目的とした脳血流 SPECT 検査が多くの施設で 実施されるようになってきた。

さらに脳血流 SPECT, PET, fMRI (functional Magnetic Resonance Imaging) などの脳機能画像検査の普及により、検査結果をより客観的かつ再現性を担保し評価するため画像処理に統計学的な手法を取り入れた統計学的画像解析法が開発されてきた。代表的な統計学的画像解析法として、PETやfMRI における脳賦活試験の評価を目的とするSPM¹)(Statistical Parametric Mapping)解析と、認知症などの変性疾患の診断のため、被験者画像を複数健常者の画像から作成した健常者データベース(Normal DataBase: NDB)と比較する 3D-SSP (Three Dimensional Stereotactic Surface Projections)解析(図1)がある。

3D-SSP 解析は Minoshima らによって1990年代 初頭よりFDG-PET用の統計学的画像解析法とし て開発された $^{2)}$ 。この 3D-SSP 解析によって AD では、頭頂側頭連合野のみならず後部帯状回も糖 代謝が低下していることが世界で初めて明らかと なり、AD の特徴的所見として Lancet に報告さ れた $^{3)}$ 。その後  $H_2^{15}O$  PET を用いた検討で同部 位の血流も低下していることが Ishii らにより確 認されたため<sup>4)</sup>. 3D-SSP 解析の脳血流 SPECT へ の応用が始まった。本邦においては、Uchida ら が認知症診断での脳血流 SPECT・3D-SSP 解析の 有用性を報告し5), 認知症の画像診断において 3D-SSP 解析が利用されるようになった。認知症 患者の脳糖代謝や脳血流は、認知症の原因疾患ご とで特徴的な低下パターンを示すことが分かって いる。脳糖代謝画像や脳血流 SPECT 画像を 3D-SSP 解析することで、客観的かつ、精度高く、そ の低下パターンを視覚的にわかりやすく表示する ことが可能となった。このため多くの施設で認知 症の早期診断や鑑別診断に脳血流 SPECT と 3D-SSP 解析が補助的に用いられるようになった。

この3D-SSP 解析のプログラムは NEUROSTAT/

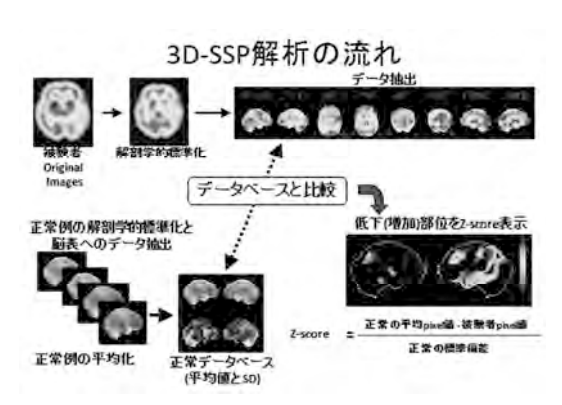


図1 3D-SSP 解析の流れ

3D-SSP の web page (「NEUROSTAT」で検索可能) 上から自由にダウンロード可能であり、開発者の蓑島先生から key code を入手することでプログラムを動作させることができる。弊社は 3D-SSP 解析の core program を蓑島先生から入手し、Windows 上で動作する Graphical User Interface (GUI) として Interface software for 3D-SSP を2000年から研究・実験用として無償配布している。

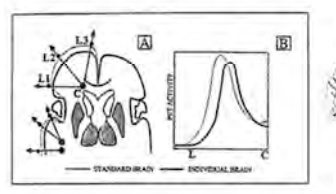
# ■3D-SSP 解析の概略と最近の動向

### • 解剖学的標準化について

3D-SSP 解析では被験者の脳血流 SPECT 画像を NDB と比較し、健常者平均値よりも低下もしくは増加している部位の画像を作成する。NDB と比較するためには、被験者の脳の大きさや形を定位的な脳座標系を持つ標準脳の形状に変換し脳形態の個人差を解消させる解剖学的標準化が必要となる。3D-SSP 解析では標準脳の定位的な脳座標系として Talairach のアトラスを用いている。

解剖学的標準化は被験者の脳の大きさと傾きを標準脳に合わせる線形変換の過程と、白質から大脳皮質に向かう神経線維の走行に沿って脳を変形させながら解剖学的な位置情報まで標準脳に合わせる非線形変換の過程からなる。標準脳上には白質内に center point (C) と、その center point (C) と神経線維連絡を持つ脳表上の landmark (L) が多数設定されている(図 2 A)。被験者の画像上でcenter point (C) と landmark (L) を結ぶprofile curve と被験者の画像上の profile curveの相関が最も良くなるよう、被験者画像上の center

# 非線形変換(3D-SSP)





7 Nucl Med 1994;35:1528-1537 Satoshi Minoshima

図 2 3D-SSP 非線形変換

point (C) は固定したまま, landmark (L) を脳表 方向に移動させることで (図 2 B), 被験者画像 の解剖学的な位置情報を標準脳に合わせる非線形 変換が行われる。

しかし解剖学的標準化の実行後も、被験者脳と標準脳の間には形状の差異が残る場合がある。特に認知症患者の画像を対象とする 3D-SSP 解析では、被験者の脳萎縮が解剖学的標準化の誤差要因となる場合もある。この誤差が大きいと、被験者画像と NDB の比較において偽陽性の出現や、解剖学的標準化された複数健常者の画像から作成される NDB のバラツキ増大の要因となる。そのため 3D-SSP 解析を含む、統計学的画像解析においては、解析結果の評価を行う前に、必ず解剖学的標準化の精度確認を行う必要がある。もし解剖学的標準化が不良であれば、手動による解析対象画像の傾きの補正や、ブランクスライスの削除など行って、再度解剖学的標準化を行う必要がある。

### • データ抽出について

解剖学的標準化の誤差を最小化し、血流や糖代謝の分布を三次元的に把握するため 3D-SSP 解析では NDB と比較する前に皮質の機能情報を三次元表示の標準脳の脳表へデータ抽出(三次元定位脳表面投射)し、予め萎縮や解剖学的標準化の誤差の影響を除いてから、NDB とピクセルごとに比較を行う。これが 3D-SSP 解析の名前の所以であり、他の統計学的画像解析法と最も異なる点である。

データ抽出では、解剖学的標準化後の画像に対して標準脳の脳表から三次元的に6ピクセル(2.25 mm×6=13.5 mm)の深さまで垂線を引き、その中の最大ピクセル値を皮質機能情報の代表値として脳表にデータ抽出する(図3)。この処理で萎縮や解剖学的標準化の誤差が残っている場合でも皮質の機能情報の代表値は必ず標準脳の脳表に抽出される。データ抽出で作成される脳表血流画像は萎縮や解剖学的標準化の誤差の影響を最小化し皮質の機能情報を評価できる(図4)。ただし、脳表抽出の際と同様の脳表からの垂線方向ではなく垂線に対して垂直方向に起こるシルビウス裂の開大や、脳表ではなく脳内部に起こる脳室拡大などによる解剖学的標準化の誤差を除くことは困難であることに留意する必要がある。

# 3D-SSP解析 データ抽出の方法

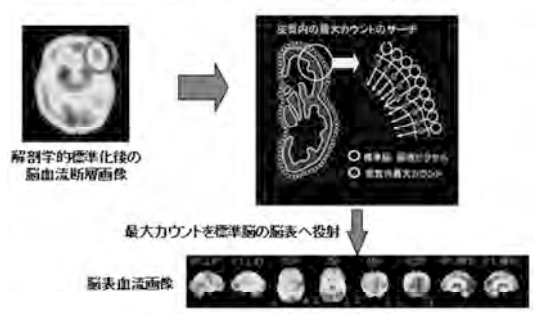


図3 3D-SSP 解析の脳表データ抽出

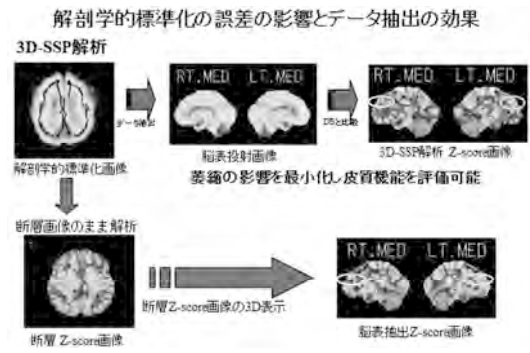


図4 3D-SSP 脳表データ抽出の効果

# NDB との比較について (カウントの正規化と Z-score の算出)

上記の脳表血流画像とNDBをピクセル毎に比較して Z-score を算出する。Z-score は NDB の平均ピクセル値から被験者ピクセル値を減じて NDB の標準偏差で除することで算出される。この Z-score が 2 なら健常者平均から 2SD 離れていることを示している(図 5)。NDB 平均値から低い方向に離れている Z-score のみをマッピング表示すれば,血流低下部位の画像(Decrease)に,高い方向に離れている Z-score のみをマッピング表示すれば,血流上昇部位の画像(Increase)となる。

ただし、SPECT 画像のピクセル値(カウント)は、投与量、検査時間の差異による減衰の影響、個々人の脳への取り込みなどに影響されるため、NDBと比較する際には、両者のピクセル値を揃える正規化が必要となる。3D-SSP 解析では正規化のための基準部位として、全脳(GLB)、視床

# Z-scoreについて

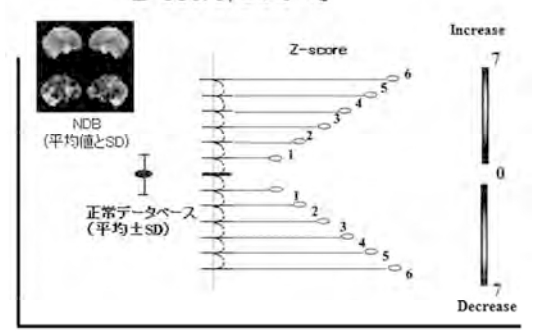


図 5 3D-SSP 解析の Z-score

(THL),小脳(CBL),橋(PNS)の4部位を採用しており、この基準部位の平均ピクセル値で全脳の各ピクセル値を除すことで正規化が行われる(ただし、視床と小脳は病変部位からの remote effect を考慮して左右のうちカウントが高い側を基準部位とする)。通常は全脳基準の正規化を参考にするが、全脳のびまん的な集積低下や脳梗塞などの強い集積低下があると低下部位のピクセル値と全脳平均ピクセル値の差が少なくなり、集積低下を過小評価する。そのような場合には小脳など他の基準部位を参考にする。ただし、視床や橋は小さい構造物のため、解像力に限界のあるSPECTで用いる際には注意を要する。

#### • Tomographic Analysis について

3D-SSP 解析は萎縮の影響や標準脳変換時の誤差を最小にするなどの利点があるが、脳表解析であるため線条体や側頭葉内側など一部解析対象とならない部位が存在する。そこで被験者画像、NDB ともデータ抽出を行う前の解剖学的標準化が終了した断層画像を用いる Tomographic Analysisが開発され、2006年から使用可能になった。本解析は 3D-SSP 解析で詳細な評価が困難な基底核領域など深部灰白質の評価が可能であること、解剖学的標準化画像で計算された Z-score 画像を標準化前の被験者脳画像(SPECT、MRI、CT など)上に Fusion 表示(逆変換表示)できることなどの特徴を持つ(図 6)。

ただし、Tomographic Analysis では、脳表への データ抽出は行われていないため、萎縮の影響な どによる解剖学的標準化の誤差が残る可能性があ

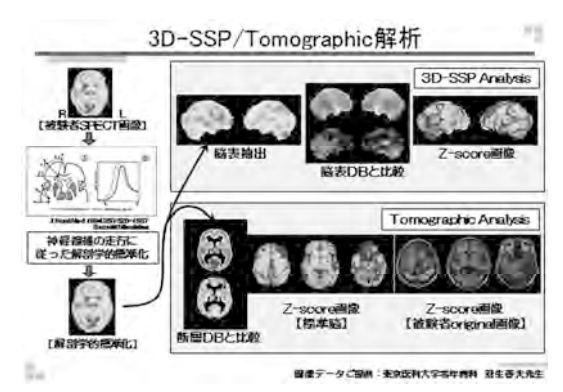


図 6 3D-SSP 解析/Tomographic 解析の流れ

るため、Z-score 画像の解釈には十分注意する必要がある。通常は、3D-SSP 脳表 Z-score 画像で集積低下パターンを診断し、Tomographic Analysisは側頭葉内側の海馬領域や、線条体・視床などの深部領域の所見の確認に留めるべきである。

#### ・3D-SSP 解析の海外での使用状況について

3D-SSP 解析は、2008年に SNM Brain Imaging Council (BIC)<sup>6)</sup>でも紹介され、国際的にも認知されている。この SNM BIC では 3D-SSP/NEUROSTAT、GUI および Austin 病院 (Melbourne, Australia) で作成された FDG-NDB のダウンロードの方法が紹介されている。なお、このNDB は <sup>11</sup>C-PiB (Pittsburgh Compound B) PET スキャン陰性でアミロイド集積がないため初期 AD の可能性は低く、MRI および神経心理スコア正常の健常高齢者25例(平均年齢72歳)で構成されている。このサイトは現在でも SNM BIC の会員が利用できる。BIC では以下のように述べられている(一部を抜粋)。

- Austin 病院で盲検下での FDG PET 読影を実施 したところ、3D-SSP/NEUROSTAT により、経 験のない読影者の AD 検出感度および精度が 15%上昇し、脳 FDG-PET 読影に熟練した者と 同程度の結果となることがわかった。
- 出力画像は読影しやすく、紹介医師に結果を知らせる際の自信も増し、紹介患者が増えることになる。
- Z-score1.5 以上はかなりの確度で異常であると 考える必要があるが、Z-score の大きさよりそ の分布を診断に用いなければならない。

- 内側面画像の後部帯状回および楔前部に代謝低下が認められ、かつ外側面像で頭頂-側頭葉に代謝低下が認められれば、ADである可能性が高い。通常は、感覚運動野の温存がはっきりと認められ、前頭前皮質に若干の低下が認められる。
- AD に典型的な後皮質領域よりも,前頭皮質または前側頭皮質の方が代謝低下の程度および範囲が大きい場合には,前頭側頭型認知症 (FTD) である可能性がある。死後の病理組織検査をゴールドスタンダードとした最近のレポート<sup>7)</sup>では,この方法により FTD と AD を鑑別する正診率は89%であった。
- ただし、かなりの高齢者の場合、加齢による萎縮の影響を見過ごさないよう注意する必要がある。これは通常、前頭葉の内側面の特に脳梁前部に見られる。全体的な脳萎縮による線が、側面像のシルビウス裂溝に沿って認められることもある。
- レビー小体型認知症 (DLB) の患者は通常,後頭皮質 (内側よりも外側) に代謝低下が認められる。
- Austin 病院が 2008 SNM Annual Meeting で発表した最近の試験は、詳しい臨床データを伏せて、独立した立場の読影者 4 名に被験者112例の 3D-SSP/NEUROSTAT 画像の読影結果を標準的な視察法によるレポートと比較したものである。全例を対象に広範囲に及ぶ神経心理学的評価、MRI および <sup>11</sup>C-PiB アミロイドイメージングを実施し、その診断を確定している。3D-SSP/NEUROSTAT により、経験の浅い読影者の感度および特異性がいずれも大幅に改善した。また、3D-SSP/NEUROSTAT 画像は、脳断層画像の標準的な読影よりも早く簡単に読影することができた。

# ■読影補助解析ソフトウェア: **ZSAM** (**Z**-score summation analysis method: ジーサム) について

認知症が疑われる症例の 3D-SSP 解析では、 Z-score 画像を読影する際、AD や DLB などの認 知症原因疾患ごとの血流低下パターンを参考にし ながら、症例の血流低下部位や血流低下の程度か ら認知症の有無や原因疾患の推定が行われてきた。しかし低下部位の解剖学的な位置の同定や,低下の程度の判断において苦慮する例もあり,読影者間(内)の評価がばらつくことがあった。

そこで Ishii らは客観性と再現性を担保して認知症が疑われる症例の 3D-SSP 解析結果の評価(読影)を行うコンピュータ診断支援システムを開発した<sup>8),9)</sup>。このコンピュータ診断支援システムは血流低下部位の確認のための「template ROI」と template ROI」と template ROI」と template ROI」と template ROI 内の血流低下を判定するための指標「Z-sum: Z-score summation」を用いて認知症の主要原因疾患である AD および DLB の特徴的な血流低下所見の有無を Z-score 画像上で確認することができる。

Template ROI(図7)は AD と DLB で共通に血流が低下する領域を評価するため頭頂葉と後部帯状回 + 楔前部 template ROI 左右合わせて 4 か所(図7左)と、DLB で血流が低下する後頭葉を評価するための後頭葉 template ROI 左右合わせて 4 か所(図7右)から構成されている。頭頂葉と後部帯状回 + 楔前部 template ROI は健常群とAD 群の IMP-SPECT 画像の群間比較で、AD群で有意に低下した領域から作成され、後頭葉template ROI は DLB 群と AD 群の IMP-SPECT画像の群間比較で、DLB 群で有意に低下した領域から作成されている。なお各 ROI は左右ミラー反転して左右対称となるように作成されている。

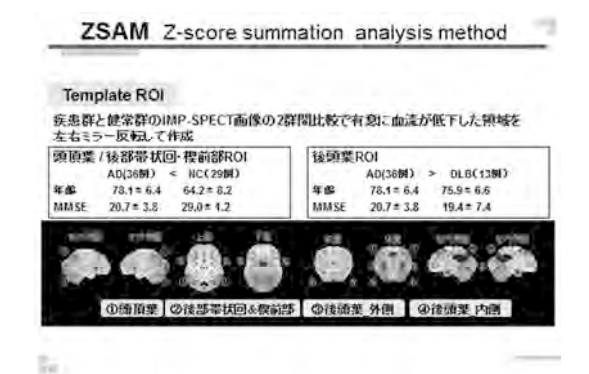
template ROI 内の血流低下を判定するための指標 Z-sumはROI内の血流低下を示す Z-score を合計した指標で血流低下領域の広がり (extent) と

低下の程度 (severity) の両方を反映する。本法では複数健常者の IMP-SPECT/3D-SSP 解析で求めた健常者の Z-sum から Z-sum 健常閾値 (Z-sum 平均値+1.64SD, 閾値は変更可能)を template ROI 毎に設定し、被験者の Z-sum が設定された 閾値を超えた場合に血流低下と判定する (図8)。

従来の ROI 解析では低下の程度の判定には Z-score の平均値が使用されるが、平均値では ROI 内の病変の広がりの大小を区別することができない。しかし、Z-sum は template ROI 内の Z-score の合計値であるため、血流低下の程度が強くなった場合だけでなく、低下域が広がった場合にも Z-sum に反映される。Z-sum は開発者である近畿大学早期認知症センター石井一成先生を代表者とした ZSAM 研究会で開発、検証が行われ、この解析法の GUI である ZSAM (図8) は2012年から ZSAM 研究会からリリースされている。

ZSAM の特徴は以下の通りである。

- ①ZSAM は 3D-SSP Z-score 画像の読影を補助する ためのソフトウェアである。
- ②**Z**-sum は extent と severity の両者を加味した指標である。
- ③左右の頭頂葉,後部帯状回+楔前部の4か所を AD/DLB の共通領域として,また参考として 後頭葉外側,後頭葉内側の4か所を DLB の特 徴的領域として,各々個別に評価可能である。
- ④Template ROI は解剖学的な位置確認,特に脳室に接している後部帯状回の位置確認に適している。
- ⑤結果がグラフ表示されているので、血流低下の



☑ 7 ZSAM Ø Template ROI

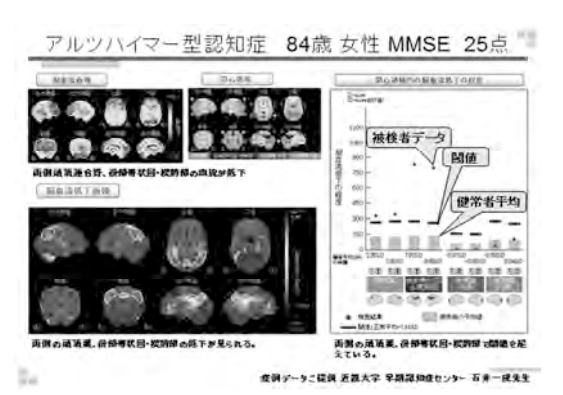


図8 ZSAM の結果画面例

程度が視覚的にわかりやすく, ムンテラ等の説 明用としても使いやすい。

ただし、このような統計学的な画像解析法、特に数値的評価を行う場合には、下記の点に注意する必要がある。

- a) Z-score 画像はアーチファクトも含む可能性 のある解析後の結果画像である。Z-score 画 像だけで判断せず、必ず解析前の SPECT 画 像で所見を確認する必要がある。
- b) ZSAM のような数値的解析の場合は、その 値だけで判断するのではなく、集積低下パ ターンも考慮すべきである。
- c) 3D-SSP 解析では脳萎縮の影響をできるだけ 除くために、NDB と比較する前に脳表デー 夕抽出を行っているが、脳室拡大やシルビウ ス裂の開大などがある場合は十分にその影響 を除けない場合がある。特に特発性正常圧水 頭症で脳室拡大がある場合には、その影響が 後部帯状回+楔前部 ROI に及ぶ恐れがある ので、MRI などの形態画像や解析前の SPECT 画像で確認する必要がある。

## ■結語

3D-SSP 解析は PET/SPECT の脳機能画像の統計画像解析法として世界的にも認知度が高く, 2012年現在世界32か国で用いられ, ADNI-IではFDG-PET の解析ツールとして採用されている。特に認知症性疾患の早期診断・鑑別診断のための

ツールとして、多くの施設で検討・評価が行われている。

# 【文献】

- Friston KJ, et al: Statistical Parametric Maps in Functional Imaging; A General Linear Approach. Human Brain Mapping 2: 189-210, 1995
- Minoshima S, et al: A diagnostic approach in Alzheimer 's disease using three-dimensional stereotactic surface projections of fluorine -18-FDG PET. J Nucl Med, 36(7): 1238-1248, 1995
- Minoshima S, et al: Posterior cingulate cortex in Alzheimer 's disease. Lancet, 344: 895, 1994
- 4) Kazunari Ishii, et al: Demonstration of decrease posterior cingulate perfusion in mild Alzheimer's disease by means of H<sub>2</sub><sup>15</sup>O PET positron emission tomography. Eur J Nucl Med 24: 670-673, 1997
- 5) 内田 佳孝, 他: 脳血流 SPECT の 3D-SSP による診断能向上について. 核医学, **36**: 602, 1999
- SNM Brain Imaging Council Newsletter. Autumn 2008
- Foster NL, et al: FDG-PET improves accuracy in distinguishing frontotemporal dementia and Alzheimer's disease. Brain, 130; 2616–2635, 2007
- 8) Kazunari Ishii, et al: Fully automatic diagnostic system for early- and late-onset mild Alzheimer's disease using FDG PET and 3D-SSP. Eur J Nucl Med Mol Imaging **33**(5): 575–583, 2006
- Kazunari Ishii, et al: Computer-assisted diagnostic system for neurodegenerative dementia using brain SPECT and 3D-SSP. Eur J Nucl Med Mol Imaging 36 (5): 831–840, 2009